

ارائه مدلی برای ضریب هدایت حرارتی مؤثر نانوسيال: تاثیر لایه بین سطحی و توزیع غیریکنواخت اندازه نانوذرات

زهره شمس^۱، محمد مقیمان^{۲*}

۱- دانشجوی دکترا، مهندسی مکانیک، دانشگاه فردوسی مشهد، مشهد
 ۲- استاد، مهندسی مکانیک، دانشگاه فردوسی مشهد، مشهد
 moghiman@um.ac.ir .9177948944 *مشهد، صندوق پستی

چکیده

این مقاله مدلی برای تعیین ضریب هدایت حرارتی موثر نانوسيال‌ها ارائه می‌کند. در این مدل، تاثیر وجود لایه بین سطحی در سطح مشترک ذره-سیال و توزیع غیریکنواخت اندازه نانوذرات ملعق درون سیال در نظر گرفته شده است. مدل ارائه شده شامل اثرات ضریب هدایت حرارتی نانوذره و سیال پایه، درصد حجمی و قطر نانوذرات، دما و حرکت برآوئی می‌باشد. دقت مدل ارائه شده در مقایسه با نتایج آزمایشگاهی برای نانوسيال‌های آب-اکسید آلمینیم، اتیلن گلیکول-اکسید مس، اتیلن گلیکول-اکسید مس، اتیلن گلیکول-آلومینیم و آب-دی اکسید تیتانیم ارزیابی شده و تاثیرات دما، قطر و کسر حجمی نانوذرات بر ضریب هدایت حرارتی موثر نانوسيال بررسی شده است. نتایج نشان می‌دهد که در نظر گرفتن همزمان وجود لایه بین سطحی و توزیع غیریکنواخت اندازه نانوذرات سبب افزایش دقت مدل‌سازی می‌شود و خطای مدل در مقایسه با نتایج آزمایشگاهی در دسترس حداکثر ۵ درصد است. مقایسه نتایج بهدست آمده از مدل ارائه شده با اطلاعات آزمایشگاهی موجود و سایر مدل‌ها نشان می‌دهد که نتایج این مدل تطابق خوبی با داده‌های آزمایشگاهی داشته و مقادیر دقیق‌تری نسبت به سایر مدل‌ها ارائه می‌کند.

اطلاعات مقابله

مقاله پژوهشی کامل
دراخیف: ۰۱ مهر ۱۳۹۳
پذیرش: ۲۲ مهر ۱۳۹۳
ارائه در سایت: ۰۱ آذر ۱۳۹۳
کلید واژگان:
نانوسيال
نانوذرات
ضریب هدایت حرارتی مؤثر
توزیع غیریکنواخت
لایه بین سطحی

A model for the effective thermal conductivity of nanofluids–effect of interfacial layer and non-uniform size distribution of nanoparticles

Zohreh Shams^{1*}, Mohammad Moghiman²

1- Department of Mechanical Engineering, Ferdowsi University of Mashhad, Mashhad, Iran

2- Department of Mechanical Engineering, Ferdowsi University of Mashhad, Mashhad, Iran

*P.O.B. 9177948944, Mashhad, Iran, moghiman@um.ac.ir

ARTICLE INFORMATION

Original Research Paper

Received 23 September 2014

Accepted 14 October 2014

Available Online 22 November 2014

Keywords:

Nanofluid

Nanoparticle

Effective thermal conductivity, Non-uniform size

Interfacial layer

ABSTRACT

This work presents a model for calculating the effective thermal conductivity of nanofluids. In this method, the effect of non-uniform sizes of nanoparticles and interfacial layer is investigated simultaneously. The developed model for the thermal conductivity of nanofluids takes into account the effects of thermal conductivity of base fluids, thermal conductivity, volume fraction and the size of nanoparticles, the interfacial layer, non-uniform sizes of nanoparticles, Brownian motion and temperature. Hence, this model has the capability of offering both analytical and numerical predictions. The accuracy of the proposed model for the effective thermal conductivity of water-Al₂O₃, ethylene glycol-Al₂O₃, water-CuO, ethylene glycol-CuO, ethylene glycol-Al, water-TiO₂ is investigated. The effect of temperature, size of nanoparticles and volume fraction of nanoparticles are determined. Results show that the interfacial layer at the nanoparticle-liquid interface and non-uniform sizes of nanoparticles are the most important parameters for calculating the thermal conductivity of nanofluids. Comparison between the result and available experimental data of several types of nanofluids indicates that the proposed model provides accurate results with maximum error of 5%.

ایستمن و همکاران با پخش ۵ درصد حجمی از نانوذرات اکسید آلمینیم و اکسید مس درون آب، به ترتیب ۲۹ و ۶۰ درصد افزایش در ضریب هدایت حرارتی نانوسيال گزارش کردند [3]. نتایج مطالعه لیو همکاران [4] نشان می‌دهد که نانوسيال حاوی ۴ درصد حجمی از نانوذرات اکسید مس با قطر ۳۵ نانومتر در اتیلن گلیکول، سبب ۲۰ درصد افزایش در ضریب هدایت حرارتی می‌شود. آزمایش دی و کل [5] نشان می‌دهد که در دمای ۳۰ درجه

۱- مقدمه خواص جالب نانوسيال‌ها و پتانسیل زیادی که برای افزایش انتقال حرارت از خود نشان می‌دهند سبب شده که این گروه از سیالات در سال‌های اخیر در کانون توجه محققان قرار گیرند. افزودن نانوذرات به سیال پایه تاثیر قابل توجهی روی ضریب هدایت حرارتی داشته و این کمیت بسیار مورد توجه پژوهشگران بوده است [۱, ۲].

Please cite this article using:

Z. Shams, M. Moghiman, A model for the effective thermal conductivity of nanofluids–effect of interfacial layer and non-uniform size distribution of nanoparticles, *Mechanical Engineering*, Vol. 15, No. 1, pp. 91-98, 2015 (In Persian)

برای ارجاع به این مقاله از عبارت ذیل استفاده نمایید:

www.SID.ir

ضخامتی در حد چند نانومتر است، می‌تواند نظم و ترتیب ساختار اتمی را در ناحیه سطح مشترک تعییر داده و نقش مهمی در انتقال حرارت از جامد به سیال مجاور بازی می‌کند. همچنین، نانوذرات معلق در نانوپلیال اندازه‌های مختلف داشته و توزیع غیریکنواخت اندازه نانوذرات می‌تواند بر ضریب هدایت حرارتی نانوپلیال تاثیرگذار باشد. با وجود مطالعات زیادی که پیرامون رفتار حرارتی نانوپلیالات انجام شده است تا کنون مدلی که به طور همزمان تاثیر وجود لایه بین سطحی و توزیع غیریکنواخت اندازه نانوذرات را در نظر بگیرد، برای تعیین ضریب هدایت حرارتی نانوپلیال ارائه نشده است. در مطالعه حاضر یک مدل تحلیلی - عددی برای ضریب رسانایی نانوپلیال با در نظر گرفتن لایه بین سطحی در سطح مشترک سیال - ذره و نیز در نظر گرفتن اندازه غیریکنواخت نانوذرات معلق در نانوپلیال، ارائه شده است. با استفاده از مدل ارائه شده، ضریب هدایت حرارتی نانوپلیال‌های آب- اکسید آلومینیم، اتیلن گلیکول- اکسید آلومینیم، آب- اکسید مس، اتیلن گلیکول- اکسید مس، اتیلن گلیکول- آلومینیم و آب- دی اکسید تیتانیم ارزیابی شده و تاثیرات دما، قطر و کسر حجمی نانوذرات بر ضریب هدایت حرارتی موثر نانوپلیال بررسی شده است.

2- مدل‌های موجود برای ضریب هدایت حرارتی نانوپلیال

2-1- مدل ماکسول

مدل ماکسول برای تعیین ضریب هدایت حرارتی مؤثر سوسپانسیون‌های حاوی درصد حرارتی کمی از ذرات کروی که به طور تصادفی درون سیال پایه پخش شده و مخلوط همگنی را تشکیل داده‌اند، ارائه شده است [7]:

$$k_{\text{eff}} = \frac{k_p + 2k_f + 2\phi(k_p - k_f)}{k_p + 2k_f - \phi(k_p - k_f)} \quad (1)$$

که در آن k_p ضریب هدایت حرارتی ذرات، k_f ضریب رسانایی سیال پایه و k_{eff} ضریب هدایت مؤثر نانوپلیال می‌باشد. کاربرد مدل ماکسول محدود به سوسپانسیون‌های حاوی ذرات با اندازه بزرگ و غالباً پایین است.

2-2- مدل لئونگ

لئونگ و همکاران با در نظر گرفتن لایه بین سطحی به عنوان یک بخش مستقل و حل معادله انرژی در حالت دائم و در مختصات کروی، مدل معادله 2 را برای ضریب هدایت حرارتی نانوپلیال حاوی نانوذرات کروی ارائه کردند [13]:

$$k_{\text{eff}} = \frac{(k_p - k_{lr})\emptyset_p k_{lr}[2\gamma_1^3 - \gamma^3 + 1] + (k_p + 2k_{lr})\gamma_1^3[\emptyset_p \gamma^3(k_{lr} - k_f) + k_f]}{\gamma_1^3(k_p + 2k_{lr}) - (k_p - k_{lr})\emptyset_p [\gamma_1^3 + \gamma^3 - 1]} \quad (2)$$

که در این رابطه $\emptyset_p = 1 + \frac{t}{2r_p}$ ، $\gamma = \gamma_1 = 1$ است. مدل لئونگ فقط شامل سهم استاتیکی ضریب هدایت حرارتی نانوپلیال است و در آن توزیع اندازه نانوذرات یکنواخت فرض شده است.

2-3- مدل مورشد

مورشد و همکاران با در نظر گرفتن سهم دینامیکی ضریب رسانایی نانوپلیال مدل لئونگ را اصلاح کردند [14]. براساس این مدل، ضریب هدایت نانوپلیال از رابطه 3 محاسبه می‌شود.

سلسیوس با 0/25 درصد حجمی از نانوذرات اکسید مس، ضریب هدایت حرارتی نانوپلیال روغن متور - اکسید مس نسبت به سیال پایه حدود 10/4 درصد افزایش می‌یابد و این افزایش در دمای 80 درجه سلسیوس به 11/9 درصد می‌رسد. مطالعه پنگ و همکاران [6] نشان می‌دهد که با افزودن 0/5 درصد حجمی از نانوذرات اکسید آلومینیم و دی اکسید سیلیسیم به متابول ضریب هدایت حرارتی نانوپلیال به ترتیب 10/74 و 14/29 درصد افزایش می‌یابد.

پیشرفت‌های اخیر در نانوتکنولوژی لزوم تعیین دقیق خواص نانوپلیال را مشخص می‌سازد. ارائه مدل مناسب برای ضریب هدایت حرارتی افزایش یافته نانوپلیالات یکی از موضوعاتی جالب و مورد توجه در این حوزه است. مدل‌های کلاسیک مانند مدل ماکسول [7] قادر به پیش‌بینی دقیق هدایت حرارتی افزایش یافته نانوپلیالات نمی‌باشند. کبلینسکی و همکاران [8] چهار عامل تاثیرگذار در افزایش انتقال حرارت در نانوپلیال‌ها را حرکت برآونی¹ نانوذرات، لایه بین سطحی، اثر کلاستر² نانوذرات و طبیعت انتقال حرارت در نانوذرات معرفی کردند. لانگو و همکاران [9] با استفاده از روش شبکه عصبی با سه و چهار ورودی، مدلی برای تعیین ضریب هدایت حرارتی نانوپلیال آب- اکسید مس ارائه کردند. با استفاده از روش‌های بهینه‌سازی غیرخطی و روش شبکه عصبی جمال آبادی و زمزیمان [10] اثر برخی کمیت‌ها مانند دما، غلظت و اندازه نانوذرات روی ضریب هدایت حرارتی مؤثر نانوپلیال حاوی نانوذرات اکسید آلومینیم را بررسی کردند. برخی از محققان مانند یو و همکاران [11] و زیو همکاران [12]، با در نظر گرفتن اثر لایه بین سطحی، مدل‌های کلاسیک نظیر مدل ماکسول را اصلاح کرده و مدل‌های جدیدی برای ضریب هدایت حرارتی نانوپلیال ارائه کردند. لئونگ و همکاران [13] با در نظر گرفتن لایه بین سطحی، مدلی برای ضریب رسانایی نانوپلیال پیشنهاد کردند. مورشد و همکاران [14] مدلی برای ضریب هدایت نانوپلیال ارائه کرده و کمیت‌های موثر بر آن از جمله قطر ذرات، نانولایه، حرکت نانوذرات و فعل و انفعال نانوذرات را در نظر گرفته و نشان دادند که علت اصلی افزایش ضریب هدایت نانوپلیال در سهم استاتیکی ضریب رسانایی ایست. با در نظر گرفتن تاثیر لایه بین سطحی جنگ و همکاران [15] یک مدل عددی برای ضریب هدایت حرارتی نانوپلیال ارائه کردند. شمس و همکاران [16] با در نظر گرفتن لایه بین سطحی با ضخامت ثابت، ضریب هدایت حرارتی نانوپلیال حاوی نانوذرات اکسید آلومینیم و اکسید مس با توزیع غیریکنواخت را تعیین کردند. با وجود آنکه نانوذرات پخش شده در سیال ممکن است قطرهای مختلف داشته باشند، در بیشتر مطالعات انجام شده توزیع اندازه نانوذرات یکنواخت و با استفاده از یک قطر میانگین انجام شده است. هاویلین و بن-اوراهام [17] توزیع اندازه نانوذرات و توزیع نانوذرات در سوسپانسیون را بررسی کردند. وانگ و همکاران [18] مطالعه‌ای آزمایشگاهی روی نانوپلیال اتابول - دی اکسید سیلیسیم انجام دادند و نشان دادند که توزیع اندازه نانوذرات و کلاسترها از قانون فرکتال³ پیروی می‌کند. ایکسیو و همکاران [19] براساس توزیع فرکتال اندازه نانوذرات و انتقال حرارت جابجایی ناشی از حرکت برآونی نانوذرات، یک مدل برای ضریب هدایت نانوپلیال ارائه کردند. براساس توزیع فرکتال اندازه نانوذرات و انتقال حرارت جابجایی ناشی از حرکت برآونی و همکاران [20] یک مدل تحلیلی - عددی ارائه کردند.

تشکیل لایه بین سطحی در سطح مشترک نانوذره- سیال گرچه دارای

1-Brownian motion

2-Cluster

3-Fractal law

- انتقال حرارت درون سیستم در حالت دائم و دوبعدی است.
- در مدل سازی سهم استاتیک، نانوذرات آنقدر از یکدیگر دور فرض می‌شوند که هیچ واکنشی بین ذرات رخ نمی‌دهد.
- برای تعیین ضخامت لایه بین سطحی از رابطه لنگمیور به صورت معادله ۵ استفاده شده است [18].

$$t = \frac{1}{\sqrt{3}} \left(\frac{4M}{\rho_f N_A} \right)^{1/3} \quad (5)$$

که در این رابطه M وزن مولکولی سیال، ρ_f چگالی سیال و N_A عدد آوگاگادرو است.

3- سهم استاتیکی ضریب هدایت نانوپلی

سهم استاتیکی ضریب هدایت نانوپلی، از حل معادله انرژی به دست می‌آید. معادله انرژی حاکم بر میدان دمایی در سه ناحیه نانوذره، نانولایه و سیال پایه، در مختصات کروی به صورت معادله ۶ است:

$$\frac{\partial}{\partial r} \left(r^2 \frac{\partial T_i}{\partial r} \right) + \frac{1}{\sin \theta} \frac{\partial}{\partial \theta} \left(\sin \theta \frac{\partial T_i}{\partial \theta} \right) = 0 \quad i = p, l_r, f \quad (6)$$

با فرض میدان دمای خارجی یکنواخت T_∞ ، شرایط مرزی معادله ۶ به صورت رابطه ۷ نوشته می‌شود:

$$T_p(r \rightarrow 0) = T_f(r \rightarrow \infty) = T_\infty \quad (7)$$

شرط مرزی در سطوح مشترک نانوذره و لایه بین سطحی عبارت است از:

$$T_p = T_{l_r}, \quad -k_p \frac{dT_p}{dr} = -k_{l_r} \frac{dT_{l_r}}{dr} \quad : \quad r = r_p \quad (8)$$

همچنین شرط مرزی در سطح مشترک نانولایه و سیال پایه به صورت رابطه ۹ است:

$$T_{l_r} = T_f, \quad -k_{l_r} \frac{dT_{l_r}}{dr} = -k_f \frac{dT_f}{dr} \quad : \quad r = r_p + t \quad (9)$$

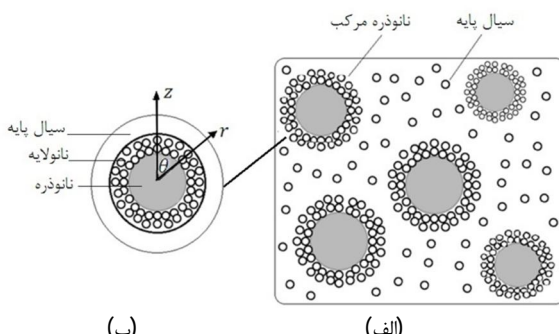
از حل معادله انرژی، گرادیان‌های دمایی در سه ناحیه نانوذره، نانولایه و سیال پایه به صورت معادلات ۱۰-۱۲ بدست می‌آید [13].

$$\frac{dT_p}{dz} = \frac{3k_{l_r}}{k_p + 2k_{l_r}} T_\infty \quad (10)$$

$$\frac{dT_{l_r}}{dz} = \left[1 + \frac{1}{(1+t/2r_p)^3} \frac{k_{l_r} - k_p}{k_p + 2k_{l_r}} \right] T_\infty \quad (11)$$

$$\frac{dT_f}{dz} = T_\infty \quad (12)$$

که $z = r \cos \theta$ است. با معلوم بودن گرادیان‌های دمایی، سهم استاتیکی ضریب هدایت نانوپلی به صورت رابطه ۱۳ بیان می‌شود [13]:



شکل ۱(الف) طرح شماتیک نانوذرات مركب پخش شده درون سیال پایه (ب) یک نانوذره کروی با لایه بین سطحی

$$k_{eff} = + \left\{ \frac{1}{2} \rho_{cp} c_{p-cp} d_s \sqrt{\frac{3K_B T (1 - 1.5\gamma^3 \varnothing_p)}{2\pi\rho_{cp}\gamma^3 r_p^3}} + \frac{G_T}{6\pi\eta\gamma r_p d_s} \right\} + \\ \left\{ \varnothing_p^2 \gamma^6 k_f (3\Lambda^2 + \frac{3\Lambda^2}{4} + \frac{9\Lambda^3}{16} \frac{k_{cp} + 2k_f}{2k_{cp} + 3k_f} + \frac{3\Lambda^4}{2^6} + \dots) \right\} + \\ \left\{ \frac{(k_p - k_{l_r})\varnothing_p k_{l_r} [2\gamma_1^3 - \gamma^3 + 1] + (k_p + 2k_{l_r})\gamma_1^3 [\varnothing_p \gamma^3 (k_{l_r} - k_f) + k_f]}{\gamma_1^3 (k_p + 2k_{l_r}) - (\varnothing_p - k_{l_r})\varnothing_p [\gamma_1^3 + \gamma^3 - 1]} \right\} \quad (3)$$

که در رابطه k_{l_r} ضریب رسانای نانو لایه، η ویسکوزیته محیط سیال و پتانسیل $DLVO^1$ ناشی از واکنش بین ذرات است. مدل مورشد شامل اثرات اندازه نانوذرات، نانولایه، دما، حرکت برآونی نانوذرات و فعل و انفعال ذرات است.

4- مدل فنگ

فنگ و همکاران بر اساس ویژگی فرکتال نانوذرات درون سیال، یک مدل تصادفی برای اندازه نانوذرات را ارائه کرد و با استفاده از آن، مدلی برای ضریب هدایت نانوپلی ارائه کردند که شامل اثرات جابجاگی ناشی از حرکت برآونی ذرات است [20]:

$$k_{eff} = \frac{k_p + 2k_f - 2\varnothing(k_f - k_p)}{k_p + 2k_f + \varnothing(k_f - k_p)} + \frac{d_f \sum_{i=1}^f \lambda_i (2.0 + 0.5 \frac{\rho_f}{c_p k_f})}{Pr \sum_{i=1}^f \lambda_i^2} \quad (4)$$

d_f قطر مولکول مایع، λ_i قطر نانوذرات و Pr عدد پرانتل است.

3- مدل ارائه شده برای ضریب هدایت حرارتی نانوپلی

در سوسپانسیون‌های حاوی نانوذرات، مولکول‌های مایع نزدیک به سطح ذرات به سطح نانوذره چسبیده و یک لایه بین سطح مایع- جامد تشکیل می‌دهند. با این که ضخامت این لایه در حد چند نانومتر است، اما نقش مهمی در انتقال حرارت از جامد به سیال مجاور بازی می‌کند. زیرا تشکیل این لایه، نظام و ترتیب ساختار اتمی را در ناحیه سطح مشترک افزایش می‌دهد. این لایه که بین سطح نانوذرات و مولکول‌های مایع تشکیل می‌شود، خواص ترموفیزیکی متفاوت با خواص توده سیال و ذرات جامد از خود نشان داده و به عنوان عاملی مهم در افزایش هدایت حرارتی نانوپلی مطرح می‌شود. در این مطالعه نانوذرات و لایه بین سطحی² به عنوان "نانوذره مرکب"³ در نظر گرفته شده است. در پخش نانوذرات با قطر میانگین معین، نانوذرات معلق در سیال ممکن است اندازه‌های مختلف داشته باشند و توزیع غیریکنواخت قطر ذرات بر ضریب هدایت حرارتی نانوپلی تاثیرگذار است. مدل حاضر با در نظر گرفتن همزمان لایه بین سطحی و توزیع غیریکنواخت اندازه نانوذرات گسترش یافته است (شکل ۱).

ضریب هدایت حرارتی نانوپلی شامل سهم استاتیکی و سهم دینامیکی است. سهم استاتیکی ناشی از انتقال حرارت هدایتی در سیال، نانولایه و نانوذره است و سهم دینامیکی ناشی از حرکت برآونی نانوذرات است. در

گسترش مدل از فرضیات زیر استفاده شده است:

- نانوپلی شامل سه جزء نانوذره، لایه بین سطحی و سیال پایه است.
- توزیع قطر نانوذرات غیریکنواخت است.
- نانوذرات کروی معلق در نانوپلی با شعاع r_p ، ضریب رسانای k_p درصد حجمی \varnothing هستند.
- لایه بین سطحی به صورت یک لایه کروی به ضخامت t ، ضریب رسانای k_{l_r} در سطح مشترک ذره-سیال تشکیل می‌شود.

1-Derjaguin-Landau-Verwey-Overbeck
2-Interfacial layer
3-Complex nanoparticle (cp)

$$k_{dy} = \sum_{l=1}^m \left(-\frac{1}{2} \rho_{cp} c_{p-cp} d_s \sqrt{\frac{3K_B T (1 - 1.5\gamma^3 \emptyset_p)}{2\pi \rho_{cp} \gamma^3 r_p^3}} \right) \frac{n_{p,l}}{N_t} \quad (20)$$

با محاسبه سهم استاتیکی و دینامیکی ضریب رسانایی نانوسيال، ضریب هدایت حرارتی نانوسيال از رابطه $k_{nf} = k_{st} + k_{dy}$ تعیین می‌شود. ضریب رسانایی مؤثر نانوسيال نیز از رابطه $k_{eff} = k_{nf}/k_f$ به دست می‌آید.

3-3- مدل فرکتال

سیستم‌های فرکتال، سیستم‌هایی هستند که اگر به گروه‌های کوچکتر تقسیم شود، هر گروه شبیه گروه بعدی است. مطالعات محققان نشان می‌دهد که توزیع قطر نانوذرارات و توزیع نانوذرارات در سوسپانسیون‌ها، فرکتال هستند [18,17]. توصیف کمی سیستم‌های فرکتال معمولاً با قانون توانی بیان می‌شود. با استفاده از قانون توانی، تعداد کل نانوذرارات پخش شده در یک نانوسيال با کسر حجمی \emptyset که در آن قطر نانوذرارات بین d_{min} و d_{max} (به ترتیب کوچکترین و بزرگ‌ترین قطر نانوذرارات) است، از رابطه 21 به دست می‌آید [20].

$$N_t = \left(\frac{d_{min}}{d_{max}} \right)^{D_{fr}} \quad (21)$$

که در این رابطه بعد فرکتال (D_{fr}) از رابطه 22 محاسبه می‌شود،

$$D_{fr} = 2 - \frac{\ln \emptyset_p}{\ln \left(\frac{d_{min}}{d_{max}} \right)} \quad (22)$$

براساس این قانون، قطر نامین نانوذرره معلق در نانوسيال را می‌توان از رابطه 23 تعیین کرد [20].

$$d_i = \frac{d_{min}}{1 - R_i^{1/D_{fr}}} = \left(\frac{d_{min}}{d_{max}} \right) \frac{d_{max}}{1 - R_i^{1/D_{fr}}} \quad (23)$$

که $d_i < d_{min}$ و R_i عدد تصادفی است. اطلاعات آزمایشگاهی [18] نشان می‌دهد که کوچک‌ترین تا بزرگ‌ترین اندازه نانوذرارات درون سیال، در محدوده چند نانومتر تا یک میکرومتر است. در این مطالعه نسبت کوچک‌ترین قطر به بزرگ‌ترین قطر نانوذرارات 10^{-3} انتخاب شده است [20]. با استفاده از یک برنامه عددی قطرهای مختلف نانوذرارات (با قطر متوسط معین) تولید می‌شود. فرآیند تولید نانوذرارات با قطرهای مختلف تا زمانی ادامه می‌یابد که معیار همگرایی مطابق معادله 24 برقرار شود:

$$\bar{d} = \frac{1}{J} \sum_{i=1}^J d_i \geq d_{Ave} \quad (24)$$

است. $i = 1, 2, 3, \dots, J$ است و J تعداد کل ذرات تولید شده در کسر حجمی معین است.

4-3- مراحل محاسبه هدایت حرارتی مؤثر نانوسيال

مراحل محاسبه ضریب رسانایی نانوسيال به صورت زیر است،

1. با معلوم بودن درصد حجمی و قطر متوسط نانوذرارات، بعد فرکتال ذرات از معادله 22 محاسبه شود.
2. تولید نانوذرارات با قطر d با استفاده از رابطه 23.
3. اگر $d_{min} < d_i < d_{max}$ به گام 4 رفته و در غیر این صورت به گام 2 برگردید.

$$k_{st} = - \frac{\int_V q_z dV}{\int_V \nabla T_z dV} = \frac{\sum_{i=p,lr,f} (k_i \frac{dT_i}{dz} V_i)}{\sum_{i=p,lr,f} (\frac{dT_i}{dz} V_i)} \quad (13)$$

معادله فوق با فرض توزیع یکنواخت اندازه نانوذرارات به دست آمده است. برای نانوسيال حاوی N_t نانوذرره با توزیع غیریکنواخت قطر نانوذرارات، سهم استاتیکی ضریب هدایت حرارتی نانوسيال به صورت رابطه 14 نوشته می‌شود:

$$k_{st} =$$

$$\frac{k_{lr} \sum_{i=1}^{N_t} \frac{V_{p,i}}{\gamma_{1,i}^3} [(k_p + 2k_{lr}) \gamma_{1,i}^3 + (k_p - k_{lr}) (2\gamma_{1,i}^3 - \gamma_i^3 + 1)] + V_f k_f (k_p + 2k_{lr})}{\sum_{i=1}^{N_t} \frac{V_{p,i}}{\gamma_{1,i}^3} [(k_p + 2k_{lr}) \gamma_{1,i}^3 - (k_p - k_{lr}) (\gamma_{1,i}^3 + \gamma_i^3 - 1)] + V_f (k_p + 2k_{lr})} \quad (14)$$

که در این رابطه $\gamma_1 = 1 + \frac{t}{2r_p}$ است. در نوشتن رابطه بالا از روابط 15 نیز استفاده شده است،

$$v_{lr,i} = v_{p,i} (\gamma^3 - 1) \quad (15-a)$$

$$\emptyset_f = 1 - \gamma^3 \emptyset_p \quad (15-b)$$

$$v_f = (1 - \gamma^3 \emptyset_p) \frac{V_p}{\emptyset_p} \quad (15-c)$$

در معادله (15-c) $V_p = \sum_{i=1}^{N_t} v_{p,i}$ است.

3-2- سهم دینامیکی هدایت حرارتی نانوسيال

سهم دینامیکی هدایت حرارتی نانوسيال ناشی از حرکت برآونی ذرات است. شار حرارتی محوری خالص ناشی از حرکت برآونی ذرات با اندازه یکسان از رابطه 16 محاسبه می‌شود [14]:

$$q''_{net} \approx -\frac{1}{2} \rho_{cp} c_{p-cp} d_s U_B \nabla T \quad (16)$$

در رابطه فوق ρ_{cp} و c_{p-cp} به ترتیب چگالی و گرمای ویژه نانوذرده مرکب، اندازه حرکت برآونی ذرات و فاصله بین دو ذره با اندازه یکسان است و $d_s = 0.893 r_{cp} \emptyset_{cp}^{-1/3}$ است. از آن جا که نانوذرارات معلق دارای قطرهای مختلف هستند، با استفاده از روش میانگین وزنی، شار حرارتی محوری کل ناشی از حرکت برآونی همه نانوذرارات از به صورت رابطه 17 محاسبه می‌شود:

$$q''_{net, total} \approx \sum_{l=1}^m \left(-\frac{1}{2} \rho_{cp} c_{p-cp} d_s U_B \nabla T \right) \frac{n_{p,l}}{N_t} \quad (17)$$

که در این رابطه m تعداد دسته‌های ذرات با اندازه یکسان و $n_{p,l}$ تعداد نانوذرارات موجود در دسته‌ی l^{th} است. رابطه حرکت برآونی اصلاح شده به -

صورت رابطه 18 است [14]:

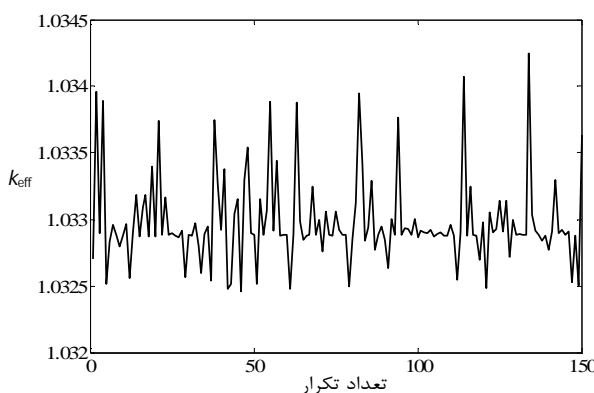
$$U_B = \sqrt{\frac{2K_B T (1 - 1.5\emptyset_{cp})}{M}} \quad (18)$$

با توجه به این که $q''_{net, total} = -k_{dy} \nabla T$ و با جای گذاری معادله 18 در معادله 17، سهم دینامیکی ضریب رسانایی مؤثر نانوسيال به صورت رابطه 19 دست می‌آید:

$$k_{dy} =$$

$$\sum_{l=1}^m \left(-\frac{1}{2} \rho_{cp} c_{p-cp} d_s \sqrt{\frac{2K_B T (1 - 1.5\emptyset_{cp})}{M}} \right) \frac{n_{p,l}}{N_t} \quad (19)$$

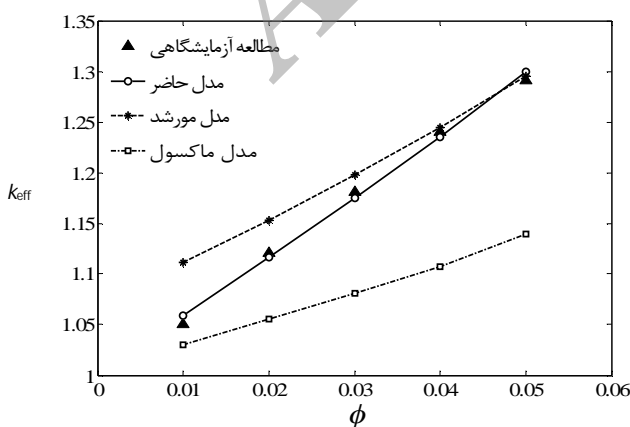
معادله 19 را می‌توان به فرم ساده شده زیر نوشت:



شکل 3 ضریب هدایت حرارتی مؤثر نانوسيال آب-اکسید آلومینیم با قطر متوسط 15 نانومتر و 1 درصد حجمی در 150 اجرای برنامه

در ادامه، نتایج مدل حاضر با نتایج آزمایشگاهی در دسترس و نتایج سایر مدل‌ها مقایسه شده است. بهاین منظور چهار مدل ماکسول، مدل لئونگ، مدل مورشد و مدل فنگ انتخاب شده است. شکل 4 مقایسه نتایج مدل ارائه شده با نتایج آزمایشگاهی [3] و نتایج سایر مدل‌ها را برای نانوسيال آب-اکسید آلومینیم با قطر متوسط 33 نانومتر در درصدهای حجمی مختلف و در دمای 25 درجه سلسیوس نشان می‌دهد. مشاهده می‌شود که نتایج مدل حاضر با نتایج آزمایشگاهی تطابق دارد در حالی که مدل ماکسول در مقایسه با مدل ارائه شده نتایج بسیار ضعیفی ارائه می‌کند. با این که مدل مورشد، مدل نسبتاً کاملی به نظر می‌رسد اما نتایج مدل حاضر در مقایسه با نتایج مدل مورشد از دقت بیشتری برخوردار است. نتایج نشان می‌دهد که بیشترین خطای مدل ارائه شده تقریباً 1/5 درصد است، در حالی که بیشترین خطای مدل مورشد تقریباً 7 درصد است. علت این است که مدل مورشد با فرض توزیع یکنواخت قطر نانوذرات، عامل تاثیرگذاری است که به تطابق بهتر مدل ارائه شده با اطلاعات آزمایشگاهی کمک می‌کند.

نتایج مدل حاضر برای نانوسيال آب-اکسید آلومینیم با قطر 13 نانومتر برای درصدهای حجمی مختلف در شکل 5 اورده شده است. نتایج مدل ارائه شده در مقایسه با نتایج مدل فنگ [20] و مدل مورشد [14] تطابق خیلی بهتری با نتایج آزمایشگاهی ماسودا [2] دارد. نتایج دقیق‌تر این مدل نسبت به مدل فنگ، از تاثیرات لایه بین سطحی بر هدایت حرارتی نانوسيال ناشی



شکل 4 مقایسه مقادیر ضریب هدایت حرارتی مؤثر با داده‌های آزمایشگاهی ایستمن [3] و نتایج سایر مدل‌ها برای نانوسيال آب-اکسید آلومینیم با قطر متوسط 33 نانومتر

4. بررسی معیار همگرایی از معادله 24

5. تعیین ضریب رسانایی مؤثر نانوسيال با محاسبه سهم استاتیکی و دینامیکی ضریب هدایت حرارتی نانوسيال از معادلات 14 و 20. در هر بار اجرای برنامه، پس از برقراری شرط همگرایی، مقادیر ضریب هدایت حرارتی مؤثر و تعداد نانوذرات تولید شده ثبت می‌شود. بهمنظور افزایش دقت نتایج مدل و کاهش اثر تصادفی بودن قطر نانوذرات تولیدی، این مراحل چندین بار تکرار می‌شود. سپس متوسط ضریب هدایت حرارتی مؤثر نانوسيال برای قطر متوسط و درصد حجمی معین از نانوذرات از رابطه 25 به دست می‌آید:

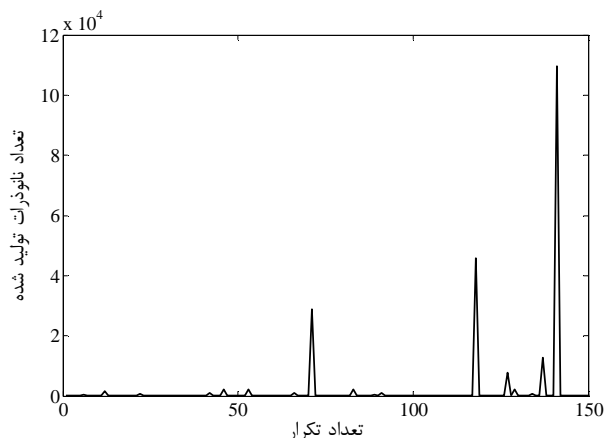
$$\bar{k}_{\text{eff}} = \frac{1}{N} \sum_{n=1}^N k_{\text{eff}}^{(n)} \quad (25)$$

در رابطه فوق $n = 1, 2, 3, \dots$ تعداد اجراهای برنامه است

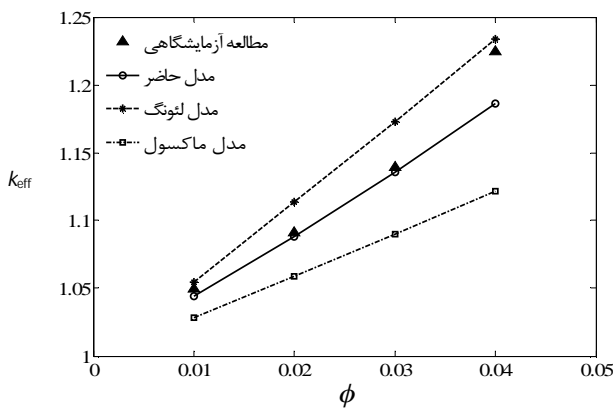
4- نتایج

دقت مدل ارائه شده با انتخاب شش نوع نانوسيال مختلف ارزیابی شده است. این نانوسيال‌ها شامل آب-اکسید آلومینیم، اتیلن گلیکول-اکسید آلومینیم، آب-اکسید مس، اتیلن گلیکول-اکسید مس، اتیلن گلیکول-آلومینیم و آب-دی اکسید تیتانیم با قطرها و در کسر حجمی‌های متفاوت می‌باشند. به منظور افزایش دقت نتایج مدل و کاهش اثر تصادفی بودن قطر نانوذرات تولیدی، فرآیند تولید نانوذرات چندین بار اجرا می‌شود. شکل 2 تعداد نانوذرات تولید شده برای نانوسيال آب-اکسید آلومینیم را در 150 بار اجرای برنامه نشان می‌دهد. در هر بار اجرای برنامه ضریب رسانایی مؤثر نانوسيال محاسبه شده و مقدار میانگین ضریب هدایت مؤثر بدست آمده از تمام اجراهای به عنوان ضریب رسانایی مؤثر نانوسيال در نظر گرفته می‌شود.

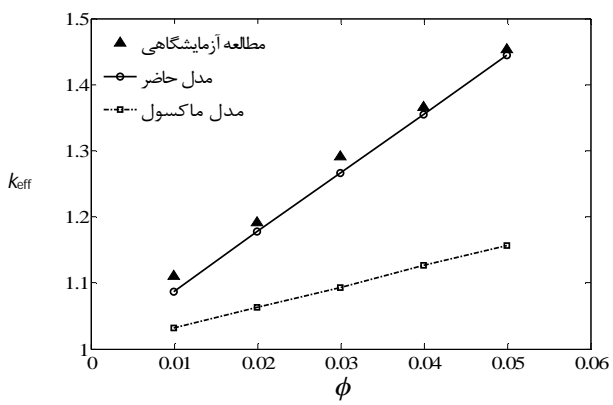
ضریب هدایت حرارتی مؤثر نانوسيال آب-اکسید آلومینیم با قطر متوسط نانوذرات 15 نانومتر و 1 درصد حجمی در دمای 25 درجه سلسیوس در 150 بار اجرای برنامه در شکل 3 نشان داده شده است. مشاهده می‌شود که هدایت حرارتی مدل‌سازی شده، شدیداً حول مقدار آزمایشگاهی 1/032 نوسان می‌کند. این مطلب به دلیل تصادفی بودن اندازه نانوذرات کاملاً مورد انتظار است. پس از برقراری شرط همگرایی، مقدار متوسط ضریب رسانایی مؤثر در مدل‌سازی حاضر، 1/0332 به دست می‌آید.



شکل 2 تعداد نانوذرات تولید شده برای نانوسيال آب-اکسید آلومینیم (15 نانومتر) با درصد حجمی 1 در 150 بار اجرای برنامه



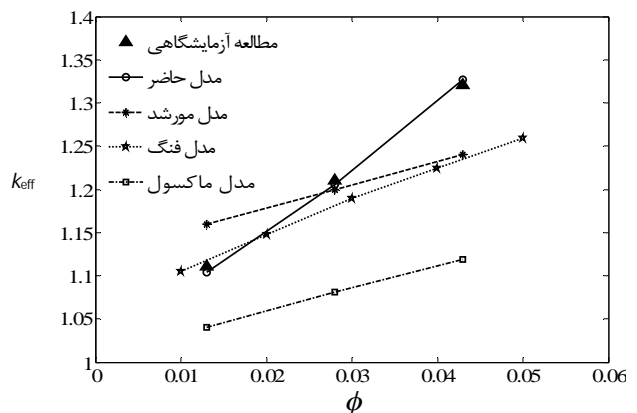
شکل 7 مقایسه مقادیر ضریب هدایت حرارتی مؤثر با داده‌های آزمایشگاهی [4] و نتایج سایر مدل‌ها برای نانوپیال اتیلن گلیکول-اکسید مس با قطر متوسط 35 نانومتر



شکل 8 مقایسه مقادیر ضریب هدایت حرارتی مؤثر با داده‌های آزمایشگاهی ایستمن [3] و نتایج سایر مدل‌ها برای نانوپیال اتیلن گلیکول-آلومینیوم با قطر متوسط 80 نانومتر

تأثیر اندازه قطر نانوذرات و کسر حجمی نانوذرات بر هدایت حرارتی مؤثر نانوپیال اتیلن گلیکول-اکسید آلومینیوم در شکل 9 نشان داده شده است. این شکل برای دو قطر متوسط 28 و 38 نانومتر در غلظت‌های مختلف نانوذرات رسم شده است. مشاهده می‌شود که افزایش قطر نانوذرات موجب کاهش هدایت حرارتی مؤثر نانوپیال می‌شود. شکل 10 نیز تأثیر قطر متوسط نانوذرات بر ضریب هدایت حرارتی مؤثر نانوپیال آب-اکسید مس با درصد حجمی 4 و 5 را نشان می‌دهد. مشاهده می‌شود که با کاهش قطر متوسط نانوذرات در حدود قطر 15 نانومتر، افزایش شدیدی در ضریب هدایت حرارتی مؤثر نانوپیال ایجاد می‌شود. علت این است که کاهش قطر نانوذرات، سبب افزایش سهم استاتیکی ضریب رسانایی بهدلیل افزایش نسبت سطح به حجم و افزایش سهم دینامیکی ضریب رسانایی بهعلت ایجاد حرکت برآونی شدیدتر می‌شود.

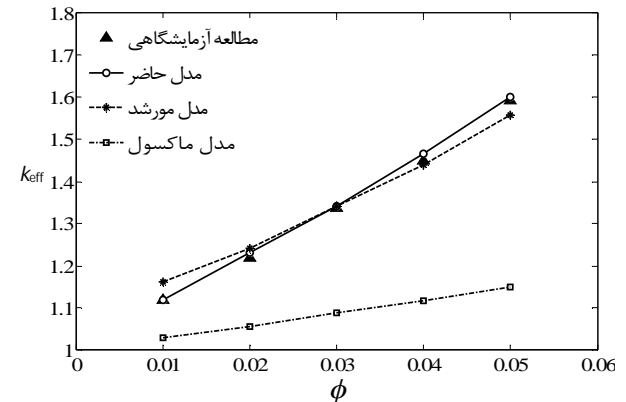
درصد افزایش ضریب هدایت مؤثر نانوپیال‌های مختلف نسبت به پایه در جدول 1 ارائه شده است. مقایسه نتایج مدل با نتایج آزمایشگاهی مختلف [21] نشان‌گر دقت بالای مدل ارائه شده در این مطالعه است. مشاهده می‌شود که حداقل خطا مدل در تعیین ضریب رسانایی مؤثر برای نانوپیال‌های مختلف 5 درصد است که برای نانوپیال اتیلن گلیکول-اکسید مس با قطر 12 نانومتر در کسر حجمی 1% رخ می‌دهد.



شکل 5 مقایسه مقادیر ضریب هدایت حرارتی مؤثر با داده‌های آزمایشگاهی ماسودا [2] و نتایج سایر مدل‌ها برای نانوپیال آب-اکسید آلومینیوم با قطر متوسط 13 نانومتر می‌شود. هرچند مدل فنگ براساس توزیع غیریکنواخت اندازه نانوذرات است اما بدون در نظر گرفتن وجود نانولایه در سطح مشترک سیال-ذره گسترش یافته است.

نتایج مشابهی برای نانوپیال آب-اکسید مس با قطر متوسط 36 نانومتر و نانوپیال اتیلن گلیکول-اکسید مس با قطر متوسط 35 نانومتر در درصد-های حجمی مختلف، در شکل 6 و 7 آورده شده است. نتایج به دست آمده افزایش ضریب رسانایی مؤثر نانوپیال با افزایش درصد حجمی نانوذرات را نشان می‌دهد. در شکل 6 تطبیق بهتر نتایج مدل ارائه شده با نتایج آزمایشگاهی ایستمن [3] نسبت به مدل مورشد [14] مشاهده می‌شود. به عنوان مثال برای نانوپیال آب-اکسید مس با قطر متوسط 36 نانومتر در کسر حجمی 5 درصد، خطای ضریب هدایت حرارتی مؤثر در مدل حاضر و مدل مورشد به ترتیب $0/75$ و $1/45$ درصد است. شکل 7 نیز نشان می‌دهد که نتایج مدل حاضر در مقایسه با دیگر مدل‌ها نظیر مدل لونگ [13]. نزدیکی بیشتری با اطلاعات آزمایشگاهی ارائه شده توسط لی [4] دارد.

شکل 8 ضریب هدایت حرارتی مؤثر نانوپیال اتیلن گلیکول-آلومینیوم با قطر متوسط 80 نانومتر در غلظت‌های مختلف را نشان می‌دهد. مشاهده می‌شود نتایج به دست آمده از مدل حاضر تطبیق خوبی با نتایج آزمایشگاهی [3] دارد به طوری که حداقل خطا مدل ارائه شده شده $2/5$ درصد می‌باشد. مطابق شکل 8 ضریب رسانایی مؤثر نانوپیال تابع کسر حجمی نانوذرات است و با افزایش غلظت نانوذرات درون سیال پایه، ضریب هدایت حرارتی مؤثر نانوپیال افزایش می‌یابد.



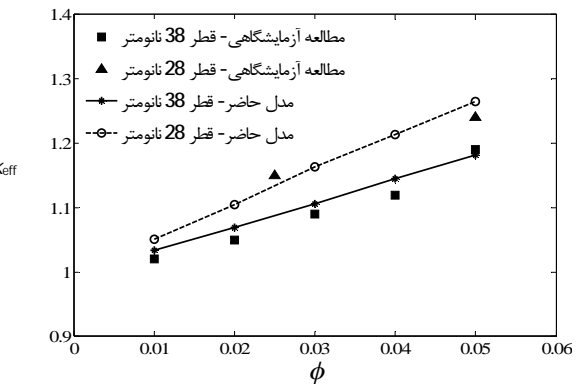
شکل 6 مقایسه مقادیر ضریب هدایت حرارتی مؤثر با داده‌های آزمایشگاهی ایستمن [3] و نتایج سایر مدل‌ها برای نانوپیال آب-اکسید مس با قطر متوسط 36 نانومتر

آزمایشگاهی نشان می‌دهد که در کسر حجمی 4 درصد با تغییر دما از 21 تا 51 درجه سلسیوس، درصد افزایش ضریب رسانایی نانوسيال نسبت به سیال پایه از 9/4 درصد به 24/3 درصد می‌رسد [22]. نتایج مدل‌سازی حاضر در این بازه دمایی و در کسر حجمی 4 درصد، افزایش 8 تا 30 درصدی ضریب هدایت حرارتی نانوسيال نسبت به سیال پایه را گزارش می‌دهد.

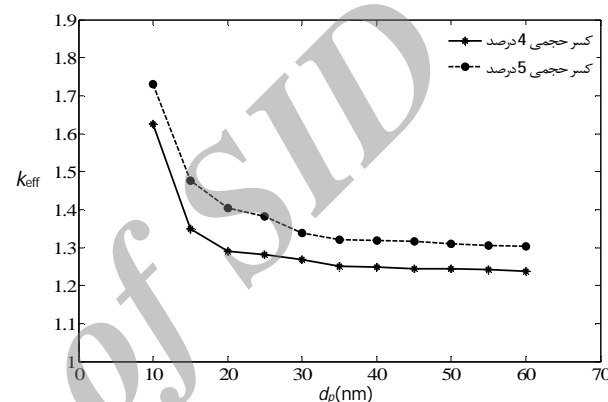
مقایسه نتایج مدل حاضر با نتایج آزمایشگاهی [23] برای ضریب رسانایی موثر نانوسيال آب-دی اکسید تیتانیم با قطر 21 نانومتر در کسر حجمی 1 و 2 درصد در شکل 12 ارائه شده است. مشاهده می‌شود که مدل ارائه شده با دقت قابل قبولی مقادیر ضریب رسانایی موثر نانوسيال را تعیین می‌کند. شکل 12 نشان می‌دهد که ضریب رسانایی موثر نانوسيال با افزایش دما افزایش می‌یابد و میزان این افزایش به کسر حجمی نانوذرات بستگی دارد.

5- نتیجه گیری

در مطالعه حاضر مدل جدیدی برای محاسبه ضریب هدایت حرارتی مؤثر نانوسيال با درنظر گرفتن تاثیر هم‌زمان نانولایه و توزیع غیریکنواخت اندازه نانوذرات گسترش یافت. مدل ارائه شده تابعی از اندازه غیریکنواخت نانوذرات، ضریب هدایت حرارتی نانوذره، سیال پایه و نانولایه، ضخامت نانولایه و دما است. نتایج مدل ارائه شده با نتایج آزمایشگاهی موجود برای نانوسيال‌های آب-اکسید آلومینیم، اتیلن گلیکول-اکسید آلومینیم، آب-اکسید مس، اتیلن گلیکول-اکسید مس، اتیلن گلیکول-آلومینیم و آب-دی اکسید تیتانیم مقایسه شد. تاثیرات دما، قطر و کسر حجمی نانوذرات بر ضریب هدایت حرارتی موثر نانوسيال بررسی شد. نتایج بهدست آمده از این مدل، تطابق قابل قبولی با اطلاعات آزمایشگاهی دارد و در مقایسه با سایر مدل‌ها از



شکل 9 مقایسه مقادیر ضریب هدایت حرارتی مؤثر با داده‌های آزمایشگاهی [4, 3] و نتایج سایر مدل‌ها برای نانوسيال اتیلن گلیکول-اکسید آلومینیم با قطرهای 28 و 38 نانومتر

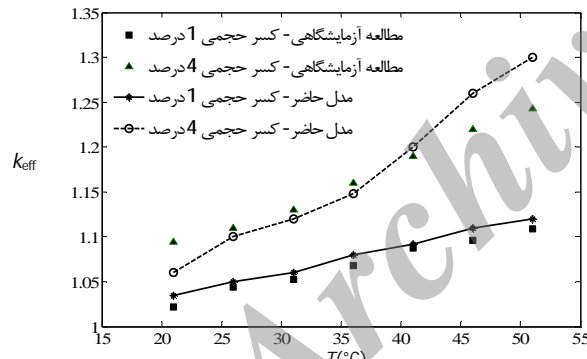


شکل 10 تغییرات ضریب هدایت حرارتی مؤثر نانوسيال با اندازه قطر نانوذره برای نانوسيال آب-اکسید مس

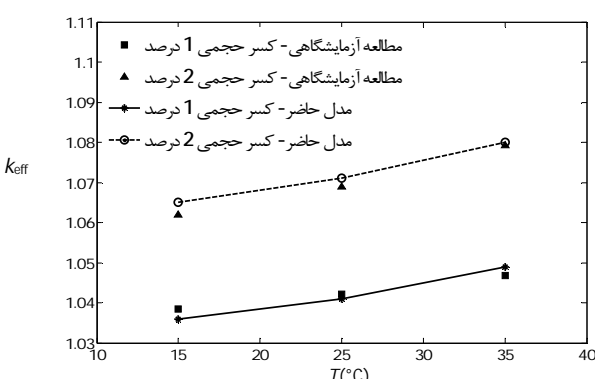
جدول 1 مقایسه درصد افزایش ضریب هدایت حرارتی مؤثر نانوسيال در مدل ارائه شده با نتایج آزمایشگاهی [21]

نامنوسیال	درصد افزایش	درصد	هر ده درجه هدایت حرارتی	هر ده درجه هدایت حرارتی	درصد
	هزارا	هزارا	هزارا	هزارا	هزارا
Al ₂ O ₃ (28nm)/W	12	12/50	3	12/50	3
Al ₂ O ₃ (33nm)/W	29	28/20	5	28/20	5
Al ₂ O ₃ (80nm)/W	24	24/25	5	24/25	5
Al ₂ O ₃ (29nm)/EG	18	17/88	4	17/88	4
Al ₂ O ₃ (38nm)/EG	18	18/60	5	18/60	5
Al ₂ O ₃ (60.4nm)/EG	30	29/16	5	29/16	5
CuO(12nm)/EG	6	5/70	1	5/70	1
CuO(29nm)/EG	23	22/35	5	22/35	5
CuO(35nm)/EG	22	22/51	4	22/51	4

شکل 11 وابستگی ضریب هدایت حرارتی مؤثر نانوسيال به دما برای نانوسيال آب-اکسید آلومینیم با قطر 38 نانومتر در دو کسر حجمی 1 و 4 درصد نشان می‌دهد. نتایج نشان می‌دهد که با افزایش دمای نانوسيال و درصد حجمی نانوذرات، ضریب رسانایی موثر نانوسيال افزایش می‌یابد. نتایج



شکل 11 تغییرات ضریب هدایت حرارتی مؤثر نانوسيال با دما برای نانوسيال آب-اکسید آلومینیم با قطر متوسط 38 نانومتر



شکل 12 تغییرات ضریب هدایت حرارتی مؤثر نانوسيال با دما برای نانوسيال آب-دی اکسید تیتانیم با قطر 21 نانومتر

- [3] J.A. Eastman, S.U.S. Choi, S. Li, L.J. Thompson, Enhanced thermal conductivity through the development of nanofluids,*Proceedings of the Symposium on Nanophase and Nanocomposite Materials II,Materials Research Society*, Vol. 457,pp. 3-11, 1997.
- [4] S. Lee, S.U.S. Choi, S. Li, J.A. Eastman, Measuring thermal conductivity of fluids containing oxide nanoparticles, *Journal of Heat Transfer*, Vol. 121,pp. 280-289,1999.
- [5] M. Kole, T.K. Dey, Role of interfacial layer and clustering on the effective thermal conductivity of CuO-gear oil nanofluids, *Experimental Thermal and Fluid Science*, Vol. 35, pp. 1490-1495, 2011.
- [6] C. Pang, J. Jung, J. Lee, Y. T. Kang, Thermal conductivity measurement of methanol-based nanofluids with Al₂O₃ and SiO₂ nanoparticles, *International Journal of Heat and Mass Transfer*, Vol. 55, pp. 5597-5602, 2012.
- [7] J. C. Maxwell, *A Treatise on Electricity and Magnetism*, Third Edition, Oxford, UK, 1891.
- [8] P. Kebilinski, S. R. Phillipot, S. U. S. Choi, J. A. Eastman, Mechanisms of heat flow in suspensions of nano-sized particles (nanofluids), *International Journal of Heat and Mass Transfer*, Vol. 45, No. 4, pp. 855-863, 2002.
- [9] G. A. Longon, C. Zilio, E. Ceseracciu, M. Reggiani, Diffusion in disordered media, *Nano Energy*, Vol. 1, pp. 290-296, 2012.
- [10] M. Tajik Jamal-Abadi, A. H. Zamzamian, Optimization of thermal conductivity of Al₂O₃ Nanofluid by using ANN and GRC methods, *International Journal of Nanoscience and Nanotechnology*, Vol. 9, No. 4, pp. 177-184, 2013.
- [11] W. Yu, S.U.S. Choi, The role of interfacial layers in the enhanced thermal conductivity of nanofluids: a renovated Maxwell model, *Journal of Nanoparticle Research*, Vol. 5, pp. 167-171, 2003.
- [12] H. Xie, M. Fujii, X. Zhang, Effect of interfacial nanolayer on the effective thermal conductivity of nanoparticle-fluid mixture, *International Journal of Heat and Mass Transfer*, Vol. 48, pp. 2926-2932, 2005.
- [13] K. C. Leong, C. Yang, S.M.S. Mursched, A model for the thermal conductivity of nanofluids – the effect of interfacial layer, *Journal of Nanoparticle Research*, Vol.8, pp. 245-254, 2006.
- [14] S. M. S. Mursched, K.C. Leong, C. Yang, A combined model for the effective thermal conductivity of nanofluids, *Journal of Thermal Engineering*, Vol. 29, pp. 2477-2483, 2009.
- [15] H. Jiang, H. Li, Q. Xu, L. Shi, Effective thermal conductivity of nanofluids Considering interfacial nano-shells, *Journal of Materials Chemistry and Physics*, pp. 1-6, 2014.
- [16] Z. Shams, S. H. Mansouri, M. Baghbani, A proposed model for calculating effective thermal conductivity of nanofluids, effect of nanolayer and non-uniform size of nanoparticles, *Journal of Basic and Applied Scientific Research*, pp. 9370-9377, 2012.
- [17] S. Havlin, D. Ben-Avraham, Diffusion in disordered media, *Advanced Physics*, Vol. 36, No. 6, pp. 695-798, 1987.
- [18] B. X. Wang L. P. Zhou, X. F. Peng, A fractal model for predicting the effective thermal conductivity of liquid with suspension of nanoparticles, *International Journal of Heat and Mass Transfer*, Vol. 46, pp. 2665-2672, 2003.
- [19] J. Xu, B.M.Yu, M. Q. Zou, P. Xu, A new model for heat conduction of nanofluids based on fractal distributions of nanoparticles, *Journal of Physics D Appl Phys*, Vol. 39, pp. 4486-4490, 2006.
- [20] Y. Feng, B. Yu, K. Feng, P. Xu, M. Zho, Thermal conductivity of nanofluids and size distribution of nanoparticles by Monte Carlo simulation, *Journal of Nanoparticle Research*, Vol. 10, pp. 1319-1328, 2008.
- [21] S. M. S. Mursched, K.C. Leong, C. Yang, Thermophysical and electrokinetic properties of nanofluids-A critical review, *Applied Thermal Engineering*, Vol. 28, pp. 2109-2125, 2008.
- [22] S.K. Das, N. Putra, P. Thiesen, W. Roetzel, Temperature dependence of thermalconductivity enhancement for nanofluids, *Journal of Heat Transfer*, Vol. 125, pp. 567-574,2003.
- [23] W. Duangthongsuk, S. Wongwises, Measurement of temperature-dependent thermal conductivity and viscosity of TiO₂-water nanofluids, *Experimental Thermal and Fluid Science*, Vol. 33, pp. 706-714, 2009.

دقت بیشتری برخوردار است بهطوری که حداقل خطای مدل در مقایسه با نتایج آزمایشگاهی 5 درصد است. مقایسه نتایج مدل ارائه شده در مطالعه حاضر با نتایج سایر مدل‌ها تاثیر قابل توجه لایه بین سطحی بر هدایت حرارتی مؤثر نانو سیال را نشان می‌دهد. نتایج نشان می‌دهد که عدم در نظر گرفتن اثر نانولایه، موجب کاهش دقتهای نتایج سایر مدل‌ها می‌شود. همچنین توزیع غیریکنواخت اندازه نانوذرات یک فرض واقعی است که به بهبود نتایج گمک شایانی کرده است و در مقایسه با مدل‌هایی که با فرض توزیع یکنواخت گسترش یافته‌اند، مدل حاضر از دقتهای بالاتری برخوردار است.

6- فهرست علائم

(nm) d قطر

(Wm⁻¹K⁻¹) k ضریب انتقال حرارت هدایتی

M وزن مولکولی

N_t تعداد نانوذرات

(K) T دما

(nm) t ضخامت لایه بین سطحی

V حجم

علایم یونانی

∅ کسر حجمی نانوذرات

(kgm⁻³) ρ چگالی

(kgm⁻¹s⁻¹) μ لزجت دینامیکی

زیرنویس‌ها

Ave مقدار متوسط

cp نانوذره مركب

eff مؤثر

f سیال پایه

Ir لایه بین سطحی

nf نانو سیال

p نانوذره

7- مراجع

- [1] S. U. S. Choi, Enhancing thermal conductivity of fluids with nanoparticles, *Developments and Applications of Non-Newtonian Flows*, Vol. 231, No. 66, pp. 99-105, 1995.
- [2] T. Masuda, A. Ebata, K. Teramae, N. Hishinuma, Alteration of thermal conductivity and viscosity of liquid by dispersing ultra-fine particles (Dispersion of Al₂O₃, SiO₂ and TiO₂ ultra-fine particles), *Netsu Bussei*, Vol. 4, pp. 227-233, 1993.